

## بهینه‌سازی رمزنگاری تصویر مبتنی بر آشوب با استفاده از الگوریتم آموزش و یادگیری

سعید نوشادیان<sup>۱</sup>، عطا ا. ابراهیم زاده<sup>۲</sup>، سید جواد کاظمی تبار<sup>۳</sup>

<sup>۱</sup> کارشناسی ارشد برق الکترونیک، دانشگاه صنعتی نوشیروانی

<sup>۲</sup> استاد دانشکده برق و کامپیوتر، دانشگاه صنعتی نوشیروانی

### چکیده

به دلیل همبستگی بین پیکسل‌های همجوار، حجم زیاد اطلاعات و نیاز به پردازش بلادرنگ، برای رمزنگاری تصویر نمی‌توان از روش‌های مرسوم در رمزنگاری داده استفاده کرد. در میان روش‌های موجود برای رمز تصویر استفاده از توابع آشوب به دلیل خواص ذاتی همچون تصادفی بودن، حساسیت به مقادیر اولیه و سادگی در پیاده‌سازی بیشتر مورد توجه قرار گرفته است. در این مقاله با استفاده از روشی جدید، تصویر توسط نگاشت لجستیک (تابع آشوب) رمز می‌شود و به کمک الگوریتم نوٹ پیکسل‌های تصویر جایگشت می‌یابند. در نهایت با استفاده از الگوریتم بهینه‌سازی آموزش و یادگیری (TLBO) تصویر رمز شده از نظر همبستگی میان پیکسل‌های همجوار ویا آنتروپی بهینه می‌شود. نتایج به دست آمده از آزمون‌های مختلف نشان‌دهنده دقت و کیفیت روش ارائه شده است به گونه‌ای که مقدار همبستگی تصویر رمز به میزان  $10^{-6}$  می‌رسد که در مقایسه با روش‌های دیگر کمترین مقدار را داراست.

### کلیدواژه

رمزنگاری تصویر، تابع آشوب، نگاشت لجستیک، الگوریتم TLBO، جایگشت نوٹ

### مقدمه

همچون ماشین سلولار [۵ و ۴]، روش جایگشت بیت‌ها، پیکسل‌ها و یا بلوک‌ها [۷ و ۶]، روش‌های مبتنی بر SCAN [۸]، AES [۹] و امضای دیجیتال [۱۰] وجود دارند.

استفاده از توابع آشوب در رمزنگاری تصویر به دلیل خواصی مانند ارگادیک بودن، حساسیت به شرایط اولیه، رفتار شبه تصادفی، کاهش زمان محاسبات و پیاده‌سازی ساده، بسیار مورد مطالعه قرار گرفته‌اند [۱۱ و ۱۲]. بنیامین نوروزی و همکاران [۱۳] روشی بر اساس نگاشت آشوب و محاسبات DNA مطرح کرده‌اند که در آن پس از اعمال یک سری عملیات ریاضی بر روی کلید رمز، مقادیر پارامتر و شرایط اولیه مربوط به تابع آشوب استخراج می‌شود. هر پیکسل از تصویر به دنباله‌ای تبدیل می‌گردد. همچنین عملیات XOR و XNOR نیز برای این دنباله‌ها پیشنهاد شده و از آنها به همراه دنباله‌های آشوب از پیش تشکیل شده، برای رمز کردن دنباله‌های DNA، تصویر طی دو تکرار استفاده می‌گردد. بهره‌گیری از اطلاعات خود تصویر امنیت الگوریتم را در برابر حملات تفضلی افزایش می‌دهد.

امروزه به دلیل پیشرفت اینترنت در دنیای دیجیتال، امنیت اطلاعات از اهمیت بیشتری برخوردار شده است. در این زمینه نیز روش‌های زیادی مانند استاندارد رمزنگاری اطلاعات (DES) و استاندارد رمزنگاری پیشرفته (AES) مطرح شده‌اند. اما در بخش رمزنگاری تصویر به دلیل خواص ذاتی آن همچون حجم زیاد اطلاعات، افزونگی بالا و همبستگی قوی بین پیکسل‌های همجوار نمی‌توان از روش‌های مرسوم در رمزنگاری داده استفاده کرد [۱ و ۲].

برای کاهش همبستگی و افزایش آنتروپی در تصویر از روش‌های جایگشت و جانشانی استفاده می‌شود به صورتی که در عمل جانشانی مقادیر پیکسل‌های تصویر تغییر می‌کند و سبب افزایش آنتروپی می‌گردد. در عمل جایگشت نیز مکان پیکسل‌ها جابه‌جا و موجب کاهش همبستگی پیکسل‌های همجوار می‌شود. ترکیب این دو روش کیفیت رمزنگاری تصویر را افزایش می‌دهد.

برای رمز تصویر روش‌های موجود در مقالات را می‌توان به دو گروه روش‌های غیرآشوبی و روش‌های مبتنی بر توابع آشوب تقسیم‌بندی کرد. در گروه روش‌های غیر آشوبی، روش‌هایی

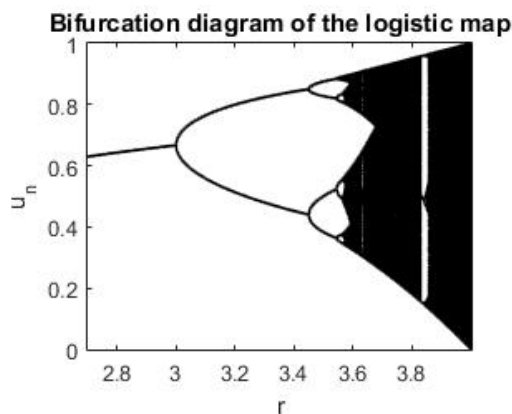
<sup>۱</sup> Teaching learning based optimization algorithm

<sup>۲</sup> Ergodic

$$u_{n+1} = r \times u_n (1 - u_n) \quad (1)$$

که در آن  $r$  ضریب لجستیک است. ناحیه تغییرات  $r$  بین صفر تا چهار است اما با تغییر  $r$  در این ناحیه خواص متفاوتی به تابع می‌دهد. جدول ۱ تغییرات  $r$  و خواص تابع را نشان می‌دهد. همچنین تغییرات تابع لجستیک نسبت به تغییرات  $r$  در شکل ۱ نمایش داده شده است [۱۷].

همانطور که در جدول ۱ پیداست رفتار تابع لجستیک هنگامی که  $r$  در بازه (3.57, 4) قرار دارد رفتاری آشوبناک است و همچنین مقدار اولیه  $u_0$  نیز در بازه (0, 1) قرار دارد.



شکل ۱. نمودار تغییرات نگاشت لجستیک نسبت به  $r$

جدول ۱. رفتار تابع لجستیک در بازه های مختلف تغییرات  $r$

مقادیر $r$	رفتار سیستم
$0 < r < 1$	سیستم به سمت صفر همگرا می‌شود.
$1 < r < 3$	سیستم به سمت مقدار $2-1/r$ همگرا می‌شود.
$3 < r < 3.45$	سیستم بین دو مقدار ثابت نوسان می‌کند.
$3.45 < r < 3.54$	سیستم بین چهار مقدار ثابت نوسان می‌کند.
$3.54 < r < 3.57$	سیستم بین ۸ مقدار سپس ۱۶ و ۲۴ و ... نوسان می‌کند.
$3.57 < r < 4$	سیستم دارای رفتاری آشوبناک خواهد شد.
$r > 4$	سیستم به منفی بینهایت همگرا می‌شود

### الگوریتم TLBO

این الگوریتم بر اساس تاثیر یک معلم بر روی خروجی دانش‌آموزان در یک کلاس تعریف شده است. در یک کلاس معلم فردی است که دارای بهترین مقدار باشد و سطح بالاتری نسبت به دیگر دانش‌آموزان داشته باشد و بتواند دانش‌آموزان را با دانش خود سهیم کند. به طور کلی در این الگوریتم از فرایند آموزش و یادگیری که در کلاس درس اتفاق می‌افتد الهام می‌گیرد.

در مرجع [۱۴] مقدار پیکسل‌ها نخست با استفاده از یک ماتریس جانشینی مبتنی بر نگاشت هنون تعویض می‌شوند، سپس مکان پیکسل‌ها با استفاده از واحد جابه‌جا کننده مبتنی بر نگاشت بیکر جابه‌جا می‌شوند. در نهایت تصویر نهائی با یک کلید دوری مبتنی بر نگاشت بیکر XOR می‌گردد.

روش پیشنهاد شده در مرجع [۱۵]، پیکسل‌های تصویر را با استفاده از تابع لجستیک تغییر می‌دهد سپس تصویر را به چهار بخش تقسیم کرده و آنها را جایگشت می‌دهد. در نهایت به کمک الگوریتم بهینه‌سازی ژنتیک، تصویر رمز شده با کمترین میزان همبستگی میان پیکسل‌های همجوار و بیشترین آنتروپی به دست می‌آید. این روش، ابداعی در بخش بهینه‌سازی رمزنگاری تصویر بوده است اما در طی فرآیند رمزنگاری دچار ضعف امنیتی است.

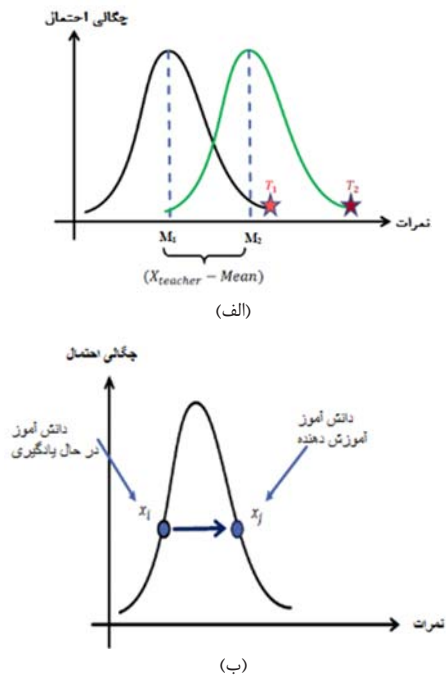
در این مقاله سعی شد با استفاده از تابع آشوب و الگوریتم بهینه‌سازی آموزش و یادگیری روشی جدید در حوزه بهینه‌سازی رمزنگاری ارائه شود. در بخش دوم توابع آشوب و الگوریتم آموزش و یادگیری تشریح می‌شود. در بخش سوم روش پیشنهادی شامل تشکیل جمعیت اولیه، رمزنگاری و تولید کلید نشان داده می‌شود و در آخر نتایج به دست آمده از این روش ارائه می‌گردد.

### مفاهیم مورد نیاز

#### توابع آشوب

توابع آشوب به دلیل خواصی که دارند در رمزنگاری تصویر بسیار استفاده می‌شوند. یکی از مهمترین خواص آنها حساسیت به شرایط اولیه است. ساختار توابع آشوب به‌گونه‌ای است که کوچکترین تغییرات در شرایط اولیه‌ی ورودی موجب تغییرات قابل توجهی در خروجی می‌شود. بنابراین اگر سیگنال ورودی تغییرات کوچکی داشته باشد سیگنال خروجی کاملاً متفاوت است [۱۲ و ۱۳]. خاصیت دیگر آنها ظاهر تصادفی است. یعنی خروجی توابع آشوب در شرایط آشوبی کاملاً تصادفی است و می‌توان دنباله‌ای از اعداد تصادفی را از آن به دست آورد. ولی با داشتن مقدار اولیه و پارامترهای تابع می‌توان عدد را بازتولید کرد. به همین دلیل خاصیت قطعیت توابع آشوب مشهود است [۱۵ و ۱۶].

یکی از متداولترین و ساده‌ترین سیستم‌های آشوبی، نگاشت لجستیک است که در برگیرنده‌ی معادله‌ی تفاضلی از نوع مرتبه دوم غیر خطی است. رابطه‌ی دینامیکی این سیستم اولین بار توسط روبرت می معرفی شد. نگاشت لجستیک به صورت زیر تعریف می‌شود:



شکل ۲. (الف) فاز معلم، (ب) فاز دانش آموز

حالت دوم: اگر نمرات  $X_i$  از  $X_j$  بهتر باشد، همانند حالت قبل است با این تفاوت که  $X_j$  از  $X_i$  می‌آموزد و رابطه‌ی ریاضی آن به صورت زیر است.

$$X_{i \text{ new}} = X_i + r(X_j - X_i) \quad (4)$$

دانستن این نکته ضروری است که در هر دو فاز معلم و دانش آموز با به دست آمدن  $X$  جدید مقدار تابع هدف آن محاسبه می‌شود و اگر این مقدار از مقدار تابع هدف قدیمی بهتر باشد، اطلاعات دانش‌آموز به‌روز می‌شود در غیر این صورت همان اطلاعات قدیمی بدون تغییر می‌ماند. در شکل ۳ فلوچارت الگوریتم TLBO نمایش داده شده است.

الگوریتم TLBO به دو فاز معلم و دانش‌آموز تقسیم می‌گردد [۱۸ و ۱۹].

#### فاز معلم:

در فاز اول معلم از بین دانش‌آموزان انتخاب می‌شود و کسی است که اطلاعاتش از بقیه بیشتر و بهتر باشد. معلم سعی می‌کند تا میانگین کلاس را به سمت خود بکشاند. اما در واقعیت این امکان پذیر نمی‌باشد و هم‌هی دانش‌آموزان نمی‌توانند به سطح معلم برسند بلکه در نهایت سطح میانگین را جابه‌جا می‌کنند و به میانگین  $M_2$  خواهند رسید. در این حالت جامعه‌ی آماری جدیدی پدید می‌آید که میانگین آن  $M_2$  و معلم آن  $T_2$  است. این روند در فاز اول آنقدر تکرار می‌شود تا به جمعیت بهتر یا بهینه برسند. در نمودار شکل ۲ الف،  $T_1$  به عنوان معلم کلاس انتخاب شده و سعی می‌کند میانگین سطح کلاس یعنی  $M_1$  را به سطح خودش برساند. رابطه‌ی ریاضی برای فاز معلم به صورت زیر خواهد بود:

$$X_{\text{new}} = X_{\text{old}} + r(X_{\text{teacher}} - T_f \times \text{Mean}) \quad (2)$$

که در آن  $r$  یک بردار تصادفی بین صفر و یک بوده که میزان موفقیت یک دانش‌آموز در درک مطلب یاد شده توسط استاد را نشان می‌دهد. همچنین  $T_f$  نشان دهنده‌ی ضریب موفقیت معلم با مقادیر  $\{1, 2\}$  می‌باشد.

#### فاز دانش‌آموز:

بعد از فاز معلم فاز دانش‌آموز اجرا می‌شود. دانش‌آموزان می‌توانند از یکدیگر نیز آموزش ببینند و بر روی یکدیگر تاثیر بگذارند. این تعامل باعث می‌شود که سطوح دانش‌آموزان ارتقا پیدا کند. با توجه به شکل ۲ ب دو دانش‌آموز به صورت تصادفی از میان جمعیت انتخاب خواهند شد. که در آن دانش‌آموز اول ( $X_i$ ) می‌خواهد از دانش‌آموز دوم ( $X_j$ ) آموزش ببیند، بسته به میزان نمره‌ی این دو دانش‌آموز دو حالت به وجود می‌آید:

حالت اول: اگر نمره‌ی  $X_i$  از  $X_j$  بدتر باشد. در حالی که یک دانش‌آموز ضعیف ( $X_i$ ) می‌خواهد از دانش‌آموز با نمرات بهتر ( $X_j$ ) آموزش ببیند. رابطه‌ی ریاضی به صورت زیر خواهد بود:

$$X_{i \text{ new}} = X_i + r(X_j - X_i) \quad (3)$$

که در این رابطه یک بردار تصادفی بین صفر و یک است و میزان موفقیت دانش‌آموز  $X_i$  در درک مطلب یاد شده را نشان می‌دهد.

تا تصویر رمز شده بیشترین آنتروپی و یا کمترین میزان همبستگی بین پیکسلی داشته باشد.

### بهینه سازی تصویر

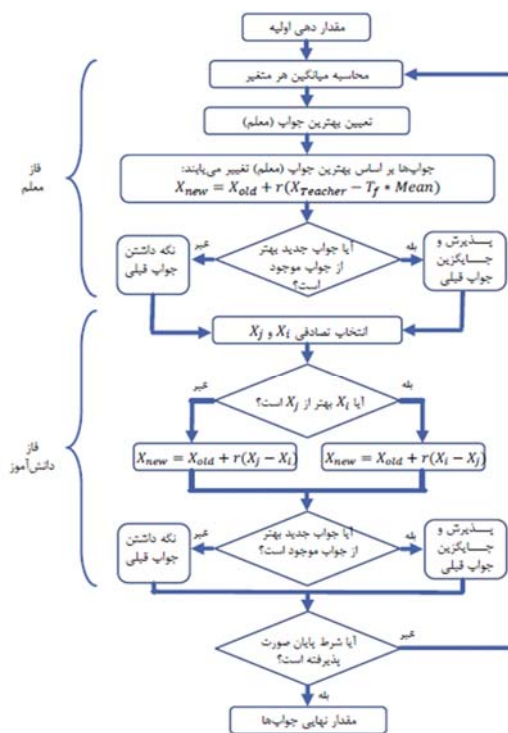
همانطور که در بخش قبل گفته شد می خواهیم مقدار بهینه  $r$  و  $u_0$  را در تابع لجستیک به دست آوریم. پس با توجه به الگوریتم آموزش و یادگیری هر دانش آموز به صورت زیر تعریف می شود.

$$X = [r, u_0] \quad (5)$$

در حالی که  $X$  همان دانش آموز کلاس است و یک جفت مشخصه  $r$  و  $u_0$  دارد.  $r$  پارامتر متغیر تابع لجستیک و  $u_0$  مقدار اولیه تابع لجستیک است. برای محاسبه نمره هر دانش آموز یا تابع هزینه الگوریتم می بایست ابتدا تصویر با استفاده از نگاشت لجستیک که پارامترهای آن را دانش آموزان تشکیل می دهند رمز می شود (نحوه رمزنگاری در بخش مربوطه توضیح داده خواهد شد). سپس تابع هزینه را برای هر دانش آموز به دست می آوریم (در این جا تابع هزینه را آنتروپی تصویر در نظر می گیریم) پس از به دست آوردن تابع هزینه همه ی تصویرها و یا همان نمره ی دانش آموزان، بهترین مقدار آن (که در اینجا بزرگترین آنهاست) به عنوان معلم انتخاب می شود. در طی اجرای الگوریتم TLBO، معلم انتخاب می شود. در طی اجرای الگوریتم TLBO، معلم سعی در آموزش دانش آموزان و همچنین دانش آموزان سعی در یادگیری از یکدیگر دارند تا نمره ی بهتری به دست آورند. در نتیجه میانگین نمرات کلاس بهبود می یابد. در هر تکرار بهترین دانش آموز از نظر اطلاعات انتخاب می شود و سعی می کند سطح میانگین دانش آموزان را به سمت خود بکشاند. در ادامه ی این روند بهترین دانش آموزان کلاس انتخاب می شود. بهترین جواب در اینجا همان  $(u_0, r)$  ای است که بیشترین آنتروپی را در تصویر رمز ایجاد می کند.

### ساخت کلید

پس از یافتن مقدار بهینه  $r$  و  $u_0$  به عنوان کلید باید آن به کد باینری تبدیل شود. به دلیل آنکه اعداد انتخابی اعشاری هستند می بایست از الگوریتم تبدیل عدد اعشاری به باینری استفاده شود. در این تبدیل قسمت صحیح اعداد  $r$  و  $u_0$  کنار گذشته می شود زیرا قسمت صحیح  $r$  و  $u_0$  به ترتیب همیشه ۳ و ۰ است. بنابراین تنها قسمت اعشاری آنها تبدیل می شود. در تبدیل، اندازه ی قسمت باینری ثابت نیست و همواره تغییر می کند به همین دلیل عدد را به گونه ای انتخاب می کنیم که برای هر کدام از پارامترها حداکثر ۶۴ بیت باشد. در نتیجه طول کلید ۱۲۸ می گردد. در صورتی که پس از تبدیل عدد باینری کمتر از ۶۴ بیت بود باقی اعداد را صفر قرار می دهیم. در صورتی که در



شکل ۳. فلوجارت الگوریتم TLBO

### روش پیشنهادی

روش پیشنهادی به طور خلاصه به صورت زیر می باشد. ابتدا جمعیت اولیه ای شامل پارامترهای  $r$  و  $u_0$  تصادفی را می سازیم. سپس با استفاده از الگوریتم TLBO مقدار بهینه هر کدام از پارامترها را می یابیم. بعد از آن مقادیر بهینه را تبدیل به کلید می کنیم و در آخر با استفاده از کلید منتخب تصویر رمز شده و آماده ی ارسال می گردد.

### ساخت جمعیت اولیه

برخلاف مقالات دیگر که جمعیت اولیه ی آنها تصویر رمز شده است [۱۶] در این مقاله جمعیت اولیه متشکل از پارامترهای  $r$  و  $u_0$  هستند به طور مثال در مقاله [۱۶] ابتدا به تعداد جمعیت اولیه کلید از تصویر انتخاب می شود سپس با هر کدام از کلیدها تصویر به طور جداگانه رمز می گردد در نهایت به تعداد جمعیت اولیه تصویر رمز شده داریم. اما در این روش به تعداد جمعیت اولیه (تعداد دانش آموزان کلاس) مقادیر  $u_0$  (مقدار اولیه تابع لجستیک) و  $r$  (پارامتر متغیر تابع لجستیک) را به صورت تصادفی تولید می کنیم. البته این مقادیر باید در محدوده ی تعیین شده باشند. در تحقیقات گذشته، مقدار  $r$  ثابت و نزدیک به ۴ در نظر گرفته شده است ولی در این مقاله مقدار  $r$  به صورت وفقی است

به صورت زیر و خروجی بهینه ساز  $x=(r,u_0)=(3.79,0.58)$  باشد. داریم:

$$u_{1,1} = 3.79 \times 0.58(1 - 0.58) = 0.9232,$$

$$u_{1,2} = 3.79 \times 0.9232(1 - 0.9232) = 0.2687,$$

$$u_{2,1} = 3.79 \times 0.2687(1 - 0.2687) = 0.7447,$$

$$u_{2,2} = 3.79 \times 0.7447(1 - 0.7447) = 0.7206$$
  

$$im_{1_{new}} = \text{round}(0.9232 \times 255) \oplus 160 = 75,$$

$$im_{2_{new}} = \text{round}(0.0.2687 \times 255) \oplus 190 = 250,$$

$$im_{3_{new}} = \text{round}(0.7447 \times 255) \oplus 150 = 40,$$

$$im_{4_{new}} = \text{round}(0.7206 \times 255) \oplus 200 = 112,$$
  

(الف)

Plain-image		Cypher-image
160	190	75
150	200	250
40	112	

(ب)

شکل ۴. انجام مراحل جانشانی با ماتریس نمونه ی ۴ پیکسلی. (الف) تشکیل ماتریس U و تغییر پیکسل های تصویر. (ب) سمت چپ تصویر اصلی، سمت راست تصویر رمز شده.

حال اگر بخواهیم با استفاده از پارامترهای  $x=(r,u_0)$  عمل جایگشت را انجام دهیم به صورت شکل ۵ عمل می کنیم البته بردار U تولید شده همان بردار U در شکل ۴ است. هر چه تصویر بزرگ تر باشد کیفیت عمل جایگشت بهتر نشان داده می شود.

```

M1 = ceil(0.9232 × 4) = 4,
M2 = ceil(0.2687 × 4) = 2,
M3 = ceil(0.7447 × 4) = 3,
M4 = ceil(0.7206 × 4) = 3,
for i=numel(x):-1:1
im([M(i),i])=im([i,M(i)]);
end
    
```

Permuted Cypher-image	250	75
	40	112

شکل ۵. فرایند جایگشت تصویر با تشکیل بردار تصادفی M

### نتایج شبیه سازی

برای اجرای روش مطرح شده در این مقاله از تصاویر استاندارد با اندازه  $256 \times 256$  استفاده شده است همچنین عملیات

سیستم های رمزنگاری نیاز به کلید بزرگ تر باشد می توانیم از ۲ جفت پارامتر  $(u_0, r)$  یکی در هسته ی تابع لجستیک در قسمت تغییر مقدار پیکسل ها و دیگری برای همین تابع در قسمت جایگشت استفاده کنیم. از این طریق می توانیم کلید ۲۵۶ بیتی داشته باشیم. در قسمت رمزگشایی عکس این تبدیل انجام می شود تا عدد باینری به اعشاری برگردد.

### رمزنگاری تصویر

در مرحله ی آخر می بایست تصویر را با استفاده از تابع لجستیک که با پارامترهای بهینه تشکیل شده رمز کرد. عملیات رمزنگاری طی دو مرحله انجام می شود: جانشانی پیکسل ها و جایگشت آنها. جانشانی پیکسل ها:

برای تغییر مقدار پیکسل های تصویر با استفاده از تابع لجستیک بدین صورت عمل می کنیم که ابتدا توسط رابطه ی ۱ و مقادیر بهینه به دست آمده از بهینه ساز TLBO به تعداد پیکسل های تصویر مقدار  $u_n$  تولید می کنیم در نتیجه طول ماتریس U برابر با  $M \times N$  است که M و N به ترتیب طول و عرض تصویر است. پس از آن هر درایه ماتریس را در عدد ۲۵۵ (ناحیه تغییرات رنگ پیکسل) ضرب می کنیم و سپس با پیکسل متناظر از تصویر XOR می نماییم تا مقدار آن تغییر یابد با تکرار این روند تمام پیکسل های تصویر تغییر می کنند.

$$\text{Newvalue} = \text{round}(U_i * 255) \oplus \text{Oldvalue} \quad (۶)$$

در رابطه ی بالا  $U_i$  هر درایه ی بردار U است و علامت exclusive or(XOR) است.

جایگشت پیکسل ها:

برای امن تر شدن و کیفیت رمزنگاری و همچنین پایین آمدن همبستگی بین پیکسل های همجوار مکان پیکسل ها تغییر داده می شود. برای این کار از الگوریتمی به نام جایگشت نوٹ استفاده می کنیم که برای جایگشت ماتریس کاربرد دارد. در هسته ی اصلی این الگوریتم از تابع rand برای تولید عدد تصادفی استفاده می شود [۲۰] اما در این جا برای رمزنگاری و رمزگشایی به هسته ی نیاز است که علاوه بر تولید عدد تصادفی با شرایطی بتوان آن عدد را باز تولید کرد زیرا در بخش رمزگشایی برای یافتن تصویر ابتدا بایست مکان پیکسل ها را به حالت اولیه تغییر داد به همین دلیل از توابعی که خاصیت شبه تصادفی دارند می توان استفاده کرد. برای سهولت کار از تابع لجستیک به جای تابع rand در قسمت هسته ی الگوریتم نوٹ استفاده می شود.

برای درک بهتر این موضوع روند رمزنگاری تصویر در شکل ۴ و ۵ نشان داده شده است. اگر فرض کنیم تصویر ما شامل ۴ پیکسل

<sup>۴</sup> Knuth shuffle

ممکن است که نمودار هیستوگرام که شبیه نمودار چگالی احتمال است کاملاً یکنواخت باشد [۲۱]. برای آن که نمودار هیستوگرام به یکنواختی نزدیک باشد الگوریتم رمزنگاری خود را بر اساس حداکثر شدن آنتروپی بهینه می‌کنیم. شکل ۷ به وضوح یکنواختی نمودار هیستوگرام تصویر رمز شده را نشان می‌دهد.

### تحلیل ضرایب همبستگی

در تصویر ساده پیکسل‌های همجوار همبستگی بالایی با هم دارند. یک الگوریتم رمزنگاری تصویر امن باید بر این همبستگی غلبه کند. برای محاسبه ضریب همبستگی بین پیکسل‌های همجوار از روابط زیر استفاده می‌کنیم. البته همسایگی به سه روش مختلف عمودی، افقی و قطری تعریف می‌شود.

$$\text{cov}(x, y) = E[(x - E(x))(y - E(y))], \quad (7)$$

$$r_{xy} = \frac{\text{cov}(x, y)}{\sqrt{D(x)}\sqrt{D(y)}}, \quad (8)$$

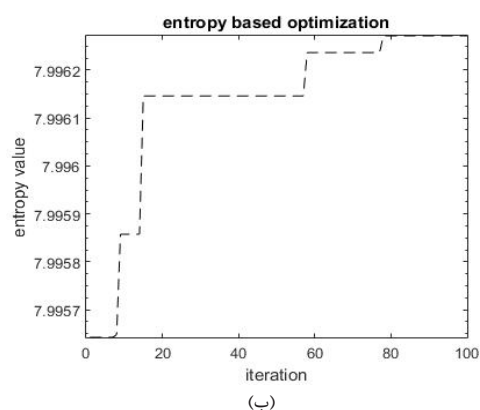
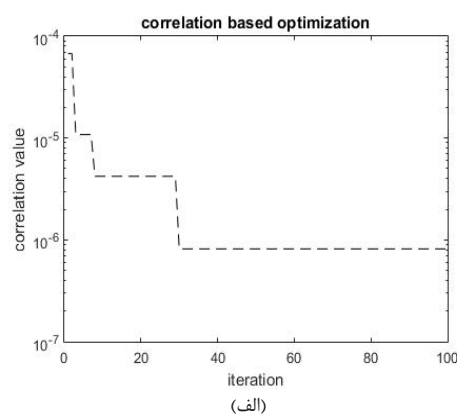
$$E(x) = \frac{1}{N} \sum_{i=0}^N x_i, \quad (9)$$

در روابط بالا  $x$  و  $y$  مقدار سطح خاکستری دو پیکسل همسایه را نشان می‌دهند و  $N$  تعداد جفت‌های همسایگی است. در مقالات مختلف برای سادگی و سرعت محاسبات ۱۰۰۰ جفت پیکسل همسایه به صورت تصادفی انتخاب می‌کنند اما ما در این مقاله مقدار  $N$  را برابر با تمام پیکسل‌های تصویر در نظر می‌گیریم تا در هر بار محاسبه، ضریب همبستگی ثابت باشد و کل تصویر را پوشش دهد. حداکثر ضریب همبستگی برابر عدد یک و بیانگر وجود همبستگی بالا بین پیکسل‌های مجاور است. یک الگوریتم رمزنگاری خوب باید تصویر را به گونه‌ای رمز نماید که ضرایب همبستگی بین پیکسل‌های مجاور در تصویر رمز شده بسیار کوچک و نزدیک به صفر باشد تا حمله‌کننده با تحلیل فوق به هیچگونه اطلاعات درخوری دسترسی نیابد. توزیع همبستگی پیکسل‌های مجاور برای راستای افقی در تصویر اصلی و تصویر رمز شده در شکل (۷) نشان داده شده است.

در مرحله دوم تصویر لِنَا را بر اساس سه نوع ضریب همبستگی (عمودی، افقی و قطری) به صورت جداگانه بهینه سازی کردیم یعنی در قسمت تابع هزینه الگوریتم تکاملی هر کدام از این توابع را قرار دادیم و ضرایب همبستگی تصویر رمز شده حاصل را محاسبه کردیم. نتایج حاصل نشان می‌دهد وقتی که تصویر رمز شده بر اساس ضریب همبستگی قطری بهینه‌سازی می‌شود مقدار همبستگی قطری آن به طور میانگین تا  $10^{-6}$  می‌رسد و این مقدار در مقایسه با بهترین و به‌روزترین الگوریتم‌های رمزنگاری کمترین مقدار را دارد. همچنین در حالتی که بر اساس همبستگی عمودی و یا افقی بهینه شود همین نتیجه حاصل

بهینه‌سازی در ۱۰۰ تکرار و با نرم‌افزار متلب در لب تاپی با پردازنده‌ی i7 core 1.6GH انجام شد. در شکل ۶ الف فرایند رمزنگاری بر روی تصویر lena بر اساس همبستگی بین پیکسل‌های همجوار انجام شده است و در شکل ۶ ب بهینه‌سازی بر پایه آنتروپی را نشان می‌دهد. البته باید این نکته را ذکر کرد که نمودارهای نشان داده شده میانگین شبیه‌سازی در طی تکرارهای مختلف است.

رمزنگاری تصویر مبتنی بر آشوب نسبت به تغییرات پارامترهای تعیین شده بسیار حساس است بنابراین در بهینه کردن این مسأله جواب یکتایی وجود ندارد تا دسته جواب‌ها به آن همگرا شوند اما می‌توان با تعیین حداقل مقدار برای همبستگی و حداکثر مقدار مورد نیاز برای آنتروپی یا تعیین حداکثر تکرار به عملیات بهینه‌سازی پایان داد.



شکل ۶ (الف) بهینه سازی تصویر بر اساس همبستگی بین پیکسل‌ها در ۱۰۰ تکرار. (ب) بهینه سازی تصویر بر اساس آنتروپی در ۱۰۰ تکرار.

### تحلیل هیستوگرام

تحلیل هیستوگرام چگونگی توزیع پیکسل‌ها در تصویر را با استفاده از ترسیم تعداد مشاهدات هر میزان شدت روشنایی، بیان می‌کند. الگوریتم رمزنگاری باید به گونه‌ای باشد که هیچ اطلاعاتی در مورد تصویر اصلی به حمله‌کننده ندهد. این امر در صورتی

یعنی  $S = \{s_1, s_2, \dots, s_{2^N}\}$ . بعد از ارزیابی معادله فوق  $H(s) = N$  به دست می‌آید که متناظر با یک منبع اطلاعات علمی به ندرت پیام‌های تصادفی تولید می‌کند و میزان آنتروپی آن کمتر از مقدار ایده‌آل ۸ می‌باشد. با این وجود هنگامی که پیام‌ها رمز می‌شوند، آنتروپی آنها بایستی نزدیک به مقدار ایده‌آل ۸ باشد. در جدول ۴ تصاویر رمز شده بر اساس آنتروپی و ضریب همبستگی بهینه شده اند. در مقایسه با مرجع [۱۶] هنگامی که تصاویر بر اساس آنتروپی بهینه شده‌اند مقدار بهتری را به دست می‌دهد.

### سنجش کیفیت رمزنگاری

بعد از عمل رمزنگاری بر روی تصویر مقادیر پیکسل‌ها تغییر کرده و در نهایت متفاوت از تصویر اصلی می‌شود. هر چه میزان تغییرات در مقادیر پیکسل‌ها بیشتر باشد روش رمزنگاری مؤثرتر و در نتیجه کیفیت تصویر بهتر است. یک معیار برای سنجش کیفیت رمزنگاری، انحراف معیار بین تصویر اصلی و تصویر رمز شده می‌باشد. کیفیت رمزنگاری تصویر به صورت زیر تعریف می‌شود [۲۱]:

$$EQ = \sum_{L=0}^{255} |H_L(C) - H_L(P)| / 256 \quad (11)$$

در حالی که  $p$  و  $c$  به ترتیب نشان دهنده‌ی تصویر اصلی و تصویر رمز هستند که هر کدام  $H * W$  پیکسل با  $L$  سطح خاکستری دارند.  $H_L(p)$  تعداد پیشامدهای هر مقدار خاکستری  $L$  در تصویر ساده و  $H_L(c)$  تعداد پیشامدهای مقدار خاکستری  $L$  در تصویر رمز است. جدول ۵ مقدار کیفیت رمزنگاری تصاویر مختلف را بعد از عملیات رمز و بهینه‌سازی نشان می‌دهد. همچنین در مقایسه با مرجع [۲۹] مقدار قابل قبولی دارد (جدول ۶).

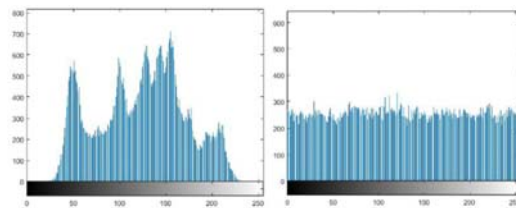
### اختلاف بین تصویر اصلی و تصویر رمز

یکی از خواص مهم الگوریتم‌های رمزنگاری، حساسیت تصویر رمز به تغییرات جزئی در تصویر ساده است. هر چه تصویر رمز به تغییرات حساس‌تر باشد الگوریتم نسبت به حملات مختلف مقاوم‌تر است. در حالت کلی ممکن است که حمله‌کننده تغییراتی ایجاد کند، به طور مثال یک پیکسل تصویر رمز شده را تغییر می‌دهد و تغییرات خروجی را مشاهده می‌کند. در این صورت ممکن است بتواند روابط معنی‌داری بین تصویر رمز شده و تصویر ساده پیدا کند و رمز را بشکند. بنابراین برای اندازه‌گیری تاثیر تغییر یک پیکسل از تصویر ساده بر روی پیکسل‌های تصویر رمز از سه روش معمول استفاده می‌کنیم. میانگین قدر مطلق خطا (MAE)، نرخ تغییرات تعداد پیکسل‌ها (NPCR)، شدت تغییرات میانگین متحد (UACI) سه معیار برای اندازه‌گیری این تغییرات است [۲۱ و ۱۵].

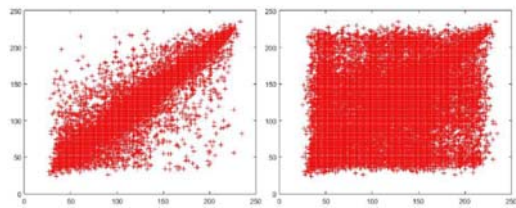
می‌گردد. جدول ۲ نتایج بدست آمده و مقایسه‌ی آن با روش‌های دیگر را نشان می‌دهد.



(الف)



(ب)



(ج)

شکل ۷. مقایسه‌ی تصویر اصلی و تصویر رمز شده. (ب) سمت چپ نمودار هیستوگرام تصویر اصلی و سمت راست هیستوگرام تصویر رمز شده. (ج) همبستگی پیکسل‌های همجوار تصویر اصلی در مقابل تصویر رمز شده.

### تحلیل آنتروپی

نظریه‌ی اطلاعات یک نظریه ریاضی از مخابرات داده و ذخیره سازی می‌باشد که در سال ۱۳۴۹ به وسیله شانون معرفی شد. شانون آنتروپی را به عنوان معیاری از میزان اطلاعات در منبع معرفی کرد. مفهوم آنتروپی در ارتباط با میزان بی‌نظمی و عدم قطعیت در یک سامانه فیزیکی می‌باشد آنتروپی شانون  $H(s)$  یک منبع پیام  $s$  به صورت زیر تعریف می‌شود:

$$H(s) = \sum_{i=0}^{2^N-1} p(s_i) \log_2 \frac{1}{p(s_i)} \quad (10)$$

که  $p(s_i)$  احتمال سمبل  $s_i$  است و آنتروپی به صورت بی‌نظمی بیان می‌شود. فرض کنید که منبع،  $2^N$  سمبل هم احتمال تولید کند،

همچنین معیار UACI به صورت زیر بیان می‌شود که میانگین تغییرات شدت روشنایی بین دو تصویر را اندازه‌گیری می‌کند.

$$UACI = \frac{1}{W \times H} \left[ \sum_{i,j} \frac{|C_1(i,j) - C_2(i,j)|}{255} \right] \times 100\% \quad (15)$$

در جدول ۵ سه معیار MAE، NPCR، UACI برای روش پیشنهادی با تصاویر مختلف نشان داده شده است. جدول ۶ نیز مقایسه‌ی این سه معیار روش پیشنهادی را با روش‌های دیگر بر روی تصویر لنا را بیان می‌کند.

اگر  $P(i,j)$  و  $C(i,j)$  پیکسل‌های تصویر ساده و تصویر رمز را نشان می‌دهند و  $H$  و  $W$  به ترتیب طول و عرض تصویر باشند داریم:

$$MAE = \frac{1}{W \times H} \sum_{i=0}^{H-1} \sum_{j=0}^{W-1} |C(i,j) - P(i,j)| \quad (12)$$

دو تصویر رمز  $C_1$  و  $C_2$  را در نظر بگیرید که تصاویر اصلی آنها تنها در یک پیکسل با هم تفاوت دارند. NPCR به صورت زیر تعریف می‌شود.

$$NPCR = \frac{\sum_{i,j} D(i,j)}{W \times H} \times 100\% \quad (13)$$

$$D(i,j) = \begin{cases} 0, & \text{if } C_1(i,j) = C_2(i,j) \\ 1, & \text{if } C_1(i,j) \neq C_2(i,j) \end{cases} \quad (14)$$

مقدار سطح خاکستری پیکسل‌ها در نقطه  $(i,j)$  از تصاویر  $C_1$  و  $C_2$  به صورت  $C_1(i,j)$  و  $C_2(i,j)$  تعریف می‌شود. معیار NPCR درصد اختلاف پیکسل‌ها بین دو تصویر را نشان می‌دهد.

جدول ۲. مقایسه‌ی همبستگی تصویر رمز شده بین روش پیشنهادی و روش‌های دیگر در سه جهت عمودی، افقی و قطری. روش پیشنهادی در سه جهت به صورت جداگانه بهینه شده است.

Lena	Diagonal correlation	Horizontal correlation	Vertical correlation
Diagonal-based	$1,32 \times 10^{-6}$	$-1 \times 10^{-6}$	$-5,4 \times 10^{-6}$
Horizontal-based	$3 \times 10^{-3}$	$-9,31 \times 10^{-6}$	$2,6 \times 10^{-3}$
Vertical-based	$1,9 \times 10^{-3}$	$-1,2 \times 10^{-3}$	$-2,4 \times 10^{-6}$
Zhu's algorithm[23]	$1,65 \times 10^{-3}$	$2,01 \times 10^{-3}$	$-9,1 \times 10^{-4}$
Yicong's algorithm[27]	$-7,24 \times 10^{-4}$	$-9,77 \times 10^{-6}$	$-5,7 \times 10^{-6}$
Enhanced TDCEA[22]	$-1,7 \times 10^{-4}$	$1,82 \times 10^{-3}$	$2,37 \times 10^{-3}$
Lian's algorithm[24]	$4,43 \times 10^{-3}$	$1,97 \times 10^{-2}$	$24,6 \times 10^{-3}$
Chen's algorithm[26]	$3,6 \times 10^{-3}$	$5,3 \times 10^{-3}$	$-0,2088$
Abdullah's algorithm[16]	$-9 \times 10^{-4}$	$9,3 \times 10^{-3}$	$-5,4 \times 10^{-3}$
Liao's algorithm[25]	$1,8 \times 10^{-3}$	$-9,75 \times 10^{-3}$	$-8,05 \times 10^{-6}$

جدول ۳. همبستگی تعدادی از تصاویر رمز شده با الگوریتم پیشنهادی

Vertical correlation	Lena	Baboon	Barbara	Peppers	Aerial
Vertical-based	$-2,4670 \times 10^{-6}$	$1,4995 \times 10^{-6}$	$3,1365 \times 10^{-6}$	$-1,9038 \times 10^{-6}$	$7,4884 \times 10^{-6}$

جدول ۴. مقایسه آنتروپی هنگامی که تصویر رمز شده بر اساس همبستگی و آنتروپی بهینه شده باشد.

Entropy	Lena	Baboon	Barbara	Peppers	Aerial
Correlation based	7,9880	7,9919	7,9901	7,9905	7,9976
Entropy based	7,9965	7,9962	7,9962	7,9950	7,9935
Abdullah's algorithm[21]	7,9923	7,9926	-	7,9929	-

جدول ۵. نتیجه آزمون‌های مختلف امنیت در تصویرهای متفاوت.

	Lena	Baboon	Barbara	Peppers	Aerial
EQ	180,5703	220,5447	217,6328	165,6563	187,7588
MAE	74,4170	66,3136	73,2656	74,1598	72,2890
NPCR	99,6446%	99,6201%	99,6104%	99,6109%	99,6048%
UACI	34,1474%	33,5632%	33,2405%	33,1717%	33,0259%

جدول ۶. مقایسه‌ی روش پیشنهادی با روش‌های دیگر در آزمون‌های مختلف.

	NPCR	UACI	EQ	MAE
Proposed method	۹۹,۶۴%	۳۴,۱۴%	۱۸۰,۲۵	۷۴,۴۱
Besharati's algorithm[29]2013	۹۹,۶۳%	۳۳,۵۱%	۱۶۸,۲۹	۷۲,۳۲
Norouzi's algorithm[21]2014	۹۹,۶۱%	۳۳,۵۷%	-	-
Y.Zhang's algorithm[31]2014	۹۹,۶۶%	۳۳,۵۷%	-	-
Enayatfar's algorithm[30]2014	۹۹,۷۱%	۳۳,۶۲%	-	-
Khan's algorithm[28]2015	۹۹,۰۶%	۳۳,۵۶%	-	-

داشته باشد. نتایج به دست آمده در جدول ۲ و ۳ نشان می‌دهد که تصویر رمز شده توسط روش پیشنهادی دارای کمترین همبستگی در بین روش‌های موجود و آنتروپی مناسب است. همچنین آزمون‌های مختلف انجام شده بر روی تصویر حاصل نشان دهنده‌ی امنیت قابل قبول الگوریتم پیشنهادی است.

## نتیجه گیری

در این پژوهش با ارائه‌ی روشی جدید و ترکیب مباحث بهینه‌سازی و رمزنگاری تصویر مبتنی بر توابع آشوب توانستیم به کمک الگوریتم آموزش و یادگیری (TLBO) تصویر را به گونه‌ای رمز کنیم که بیشترین آنتروپی و کمترین همبستگی ممکن را

## مراجع

- [10] Maniccam, S.S. and Bourbakis, N.G., 2004. Image and video encryption using SCAN patterns. *Pattern Recognition*, 37(4), pp.725-737.
- [11] Sinha, A. and Singh, K., 2003. A technique for image encryption using digital signature. *Optics communications*, 218(4), pp.229-234.
- [12] Wang, Y., Wong, K.W., Liao, X. and Chen, G., 2011. A new chaos-based fast image encryption algorithm. *Applied soft computing*, 11(1), pp.514-522.
- [13] Zhang, Q., Guo, L. and Wei, X., 2010. Image encryption using DNA addition combining with chaotic maps. *Mathematical and Computer Modelling*, 52(11), pp.2028-2035.
- [14] Lian, S., Sun, J. and Wang, Z., 2005. A block cipher based on a suitable use of the chaotic standard map. *Chaos, Solitons & Fractals*, 26(1), pp.117-129.
- [15] Jolfaei, A. and Mirghadri, A., 2010. A new approach to measure quality of image encryption. *International Journal of Computer and Network Security*, 2(8), pp.38-44.
- [16] Abdullah, A.H., Enayatifar, R. and Lee, M., 2012. A hybrid genetic algorithm and chaotic function model for image encryption. *AEU-International Journal of Electronics and Communications*, 66(10), pp.806-816.
- [17] Alligood, K.T., Sauer, T.D. and Yorke, J.A., 1997. *Chaos*. In *Chaos* (pp. 105-147). Springer Berlin Heidelberg.
- [18] Rao, R.V., Savsani, V.J. and Vakharia, D.P., 2011. Teaching-learning-based optimization: a novel method for constrained mechanical design optimization problems. *Computer-Aided Design*, 43(3), pp.303-315.
- [19] Rao, R.V., Savsani, V.J. and Vakharia, D.P., 2012. Teaching-learning-based optimization: an optimization method for continuous non-
- [1] Belkhouche, F. and Qidwai, U., "Binary image encoding using 1D chaotic maps," *IEEE Region 5, 2003 Annual Technical Conference* (pp. 39-43). IEEE, 2003, April.
- [2] Chen, G., Mao, Y. and Chui, C.K., 2004. A symmetric image encryption scheme based on 3D chaotic cat maps. *Chaos, Solitons & Fractals*, 21(3), pp.749-761.
- [3] Zhang, G. and Liu, Q., 2011. A novel image encryption method based on total shuffling scheme. *Optics Communications*, 284(12), pp.2775-2780.
- [4] Zefreh, E.Z., Rajaei, S. and Farivar, M., 2011, June. Image security system using recursive Cellular automata substitution and its parallelization. In *Computer Science and Software Engineering (CSSE), 2011 CSI International Symposium on* (pp. 77-86). IEEE.
- [5] Lefe, O., 1996, November. Data compression and encryption using cellular automata transforms. In *Intelligence and Systems, 1996., IEEE International Joint Symposia on* (pp. 234-241). IEEE.
- [6] Mitra, A., Rao, Y.S. and Prasanna, S.R.M., 2006. A new image encryption approach using combinational permutation techniques. *International Journal of Computer Science*, 1(2), pp.127-131.
- [7]
- [8] Guan, Z.H., Huang, F. and Guan, W., 2005. Chaos-based image encryption algorithm. *Physics Letters A*, 346(1), pp.153-157.
- [9] Kamali, S.H., Shakerian, R., Hedayati, M. and Rahmani, M., 2010, August. A new modified version of advanced encryption standard based algorithm for image encryption. In *Electronics and Information Engineering (ICEIE), 2010 International Conference On* (Vol. 1, pp. V1-141). IEEE.

- [26] Chen, G., Mao, Y. and Chui, C.K., 2004. A symmetric image encryption scheme based on 3D chaotic cat maps. *Chaos, Solitons & Fractals*, 21(3), pp.749-761.
- [27] Zhou, Y., Bao, L. and Chen, C.P., 2014. A new 1D chaotic system for image encryption. *Signal processing*, 97, pp.172-182.
- [28] Khan, J., Ahmad, J. and Hwang, S.O., 2015, May. An efficient image encryption scheme based on: Henon map, skew tent map and S-Box. In *Modeling, Simulation, and Applied Optimization (ICMSAO)*, 2015 6th International Conference on (pp. 1-6). IEEE.
- [29] Fard, E.B. and Atani, R.E., 2013, October. A novel image encryption method based on chaotic maps. In *Computer and Knowledge Engineering (ICCKE)*, 2013 3th International eConference on (pp. 190-195). IEEE.
- [30] Enayatifar, R., Abdullah, A.H. and Isnin, I.F., 2014. Chaos-based image encryption using a hybrid genetic algorithm and a DNA sequence. *Optics and Lasers in Engineering*, 56, pp.83-93.
- [31] Zhang, Y. and Xiao, D., 2014. Self-adaptive permutation and combined global diffusion for chaotic color image encryption. *AEU-International Journal of Electronics and Communications*, 68(4), pp.361-368.
- linear large scale problems. *Information Sciences*, 183(1), pp.1-15.
- [20] Knuth, D.E., 1998. *The art of computer programming: sorting and searching (Vol. 3)*. Pearson Education.
- [21] Norouzi, B., Mirzakuchaki, S., Seyedzadeh, S.M. and Mosavi, M.R., 2014. A simple, sensitive and secure image encryption algorithm based on hyper-chaotic system with only one round diffusion process. *Multimedia tools and applications*, 71(3), pp.1469-1497.
- [22] Li, C., Li, S., Chen, G., Chen, G. and Hu, L., 2005. Cryptanalysis of a new signal security system for multimedia data transmission. *EURASIP Journal on Advances in Signal Processing*, 2005(8), pp.1-12.
- [23] Zhu, Z.L., Zhang, W., Wong, K.W. and Yu, H., 2011. A chaos-based symmetric image encryption scheme using a bit-level permutation. *Information Sciences*, 181(6), pp.1171-1186.
- [24] Lian, S., Sun, J. and Wang, Z., 2005. A block cipher based on a suitable use of the chaotic standard map. *Chaos, Solitons & Fractals*, 26(1), pp.117-129.
- [25] Liao, X., Lai, S. and Zhou, Q., 2010. A novel image encryption algorithm based on self-adaptive wave transmission. *Signal Processing*, 90(9), pp.2714-2722.